

High alpine mountain facing climate change

Dr. Ludovic RAVANEL

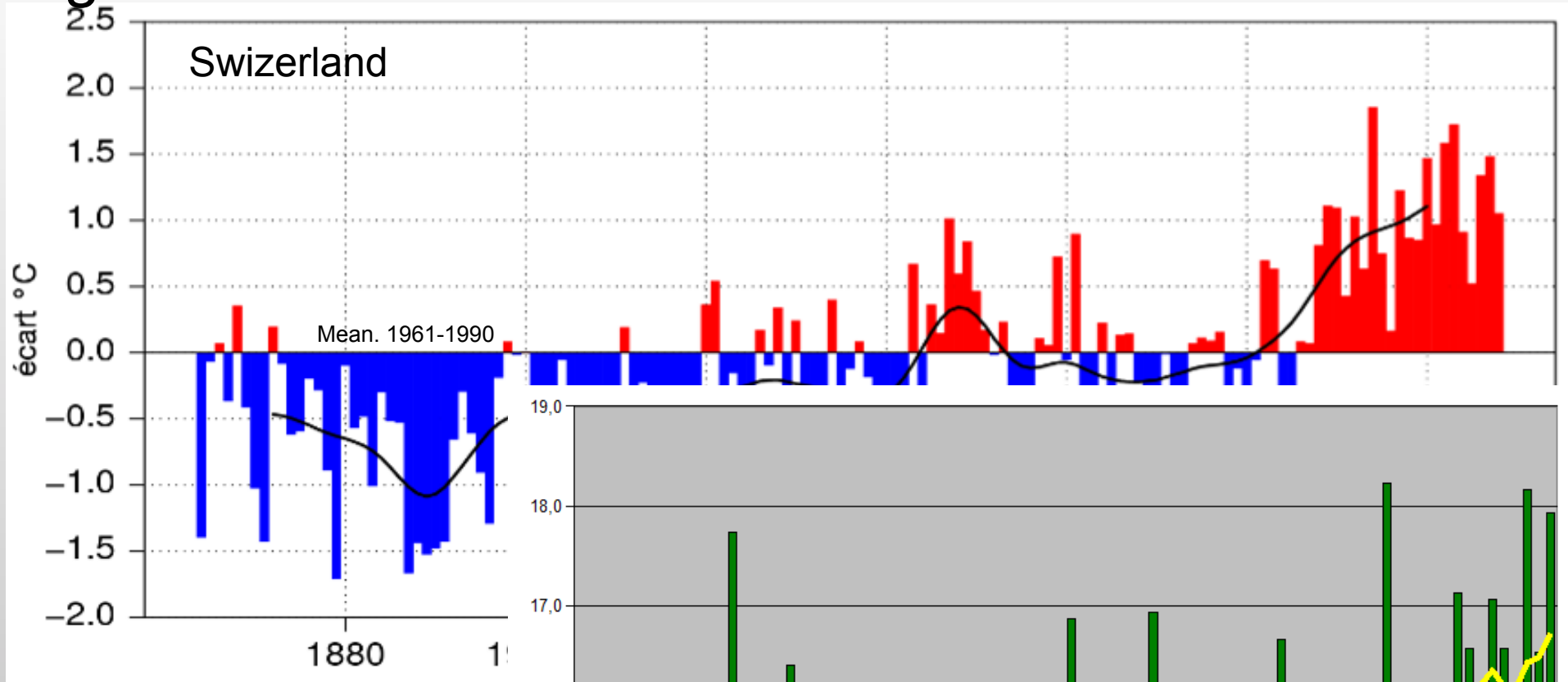


Chamonix – Oct. 20, 2018



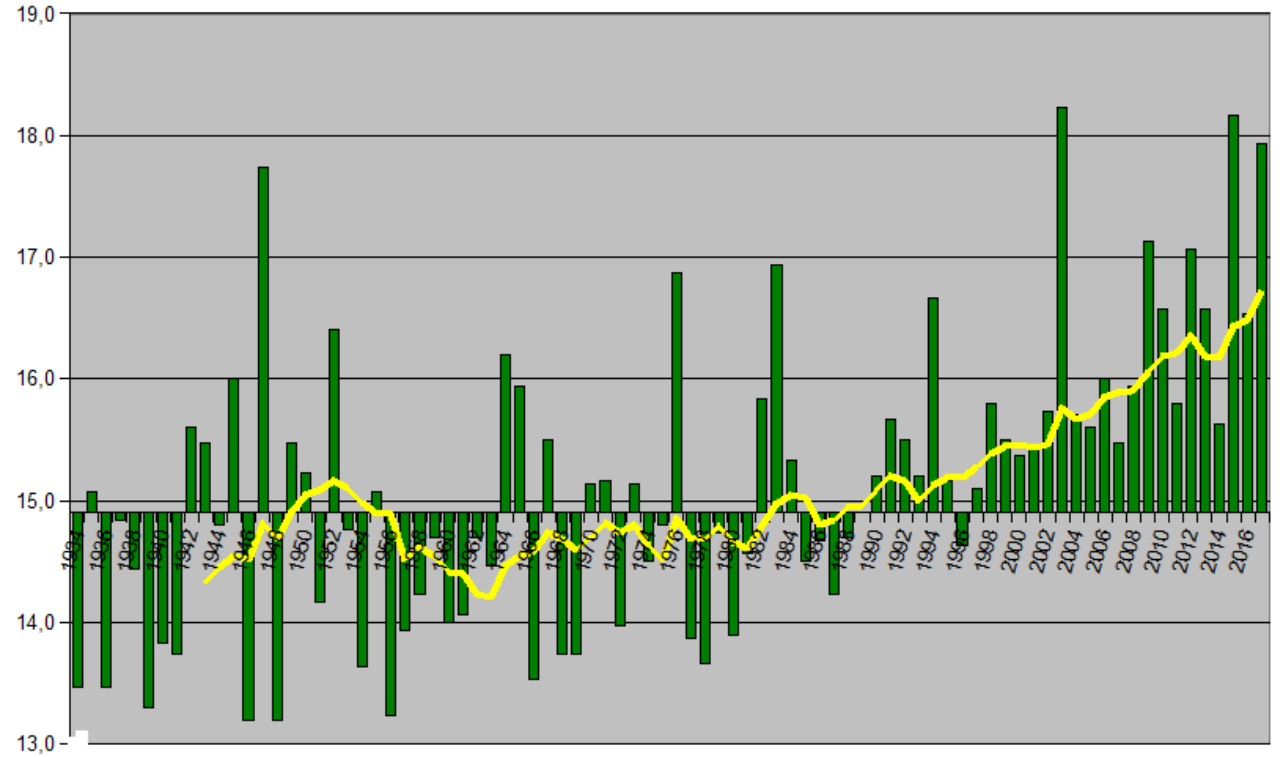
M. Caplain

Alpine climate since the end of the Little Ice Age



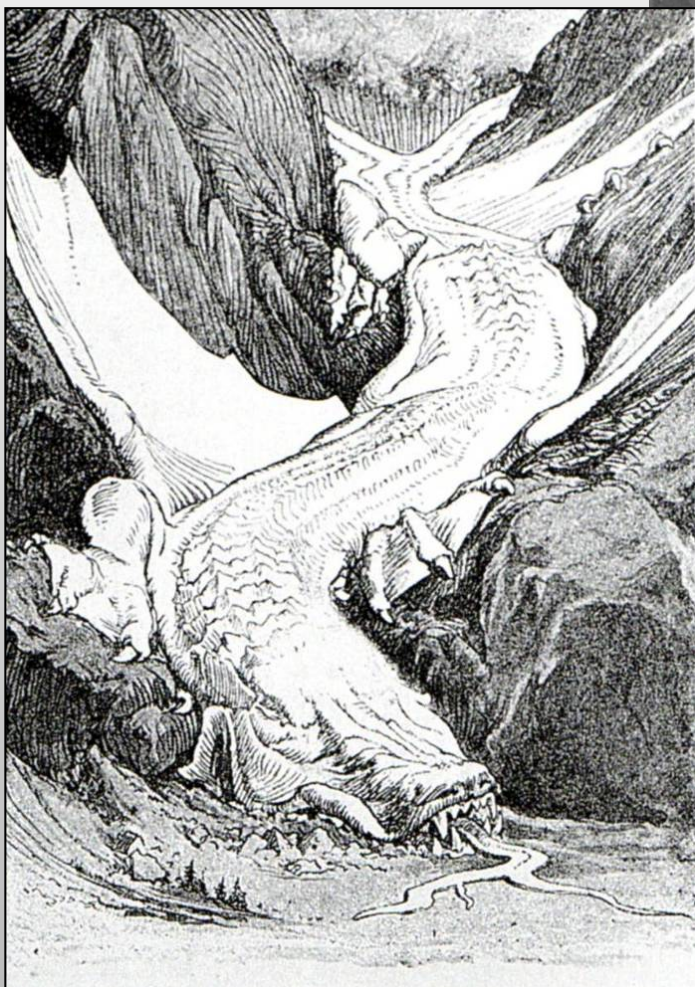
Chamonix 1936 - 2017:
+2,1°C !!!!!

Mean temp. in Chamonix
June / July / August





The Mer de Glace



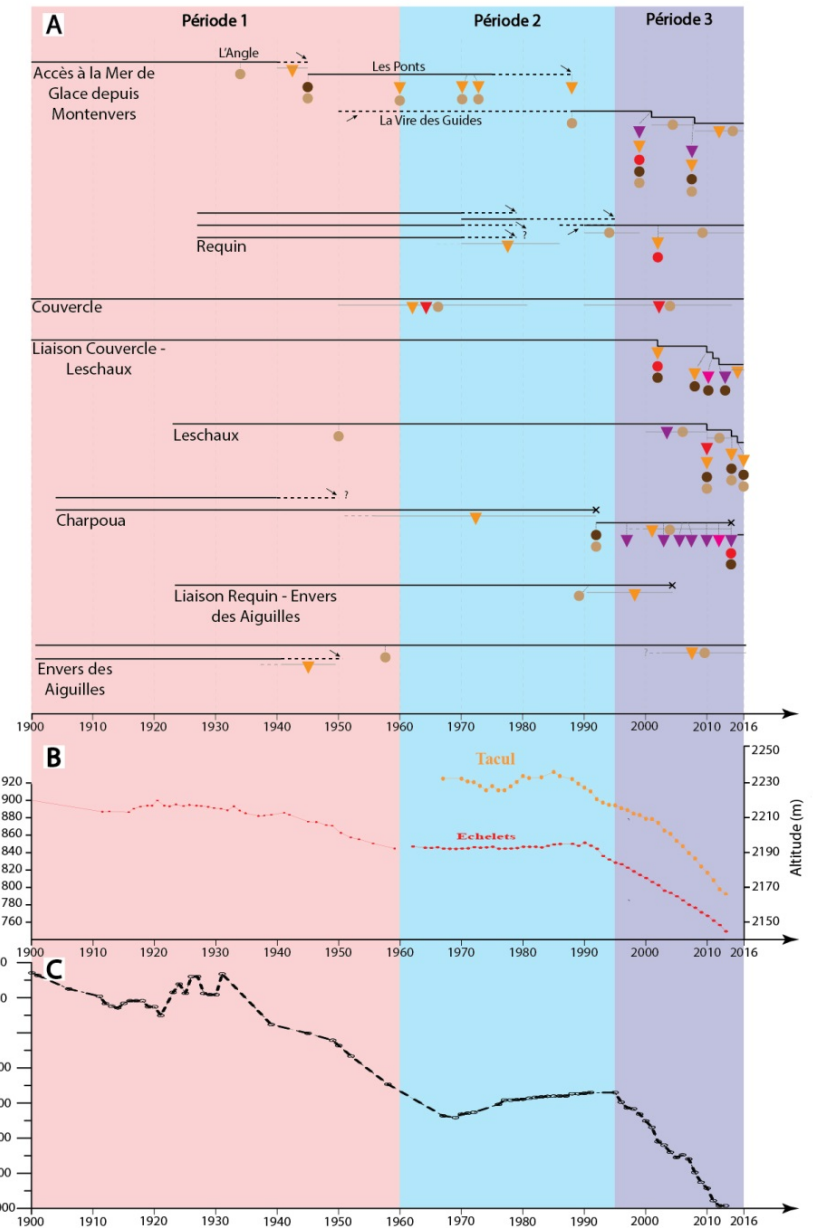
**Fr. Alps : 581 glaciers = 275 km²
→ > - 25 % since 1985**



NIVEAU DU GLAC
LEVEL OF THE GLAC

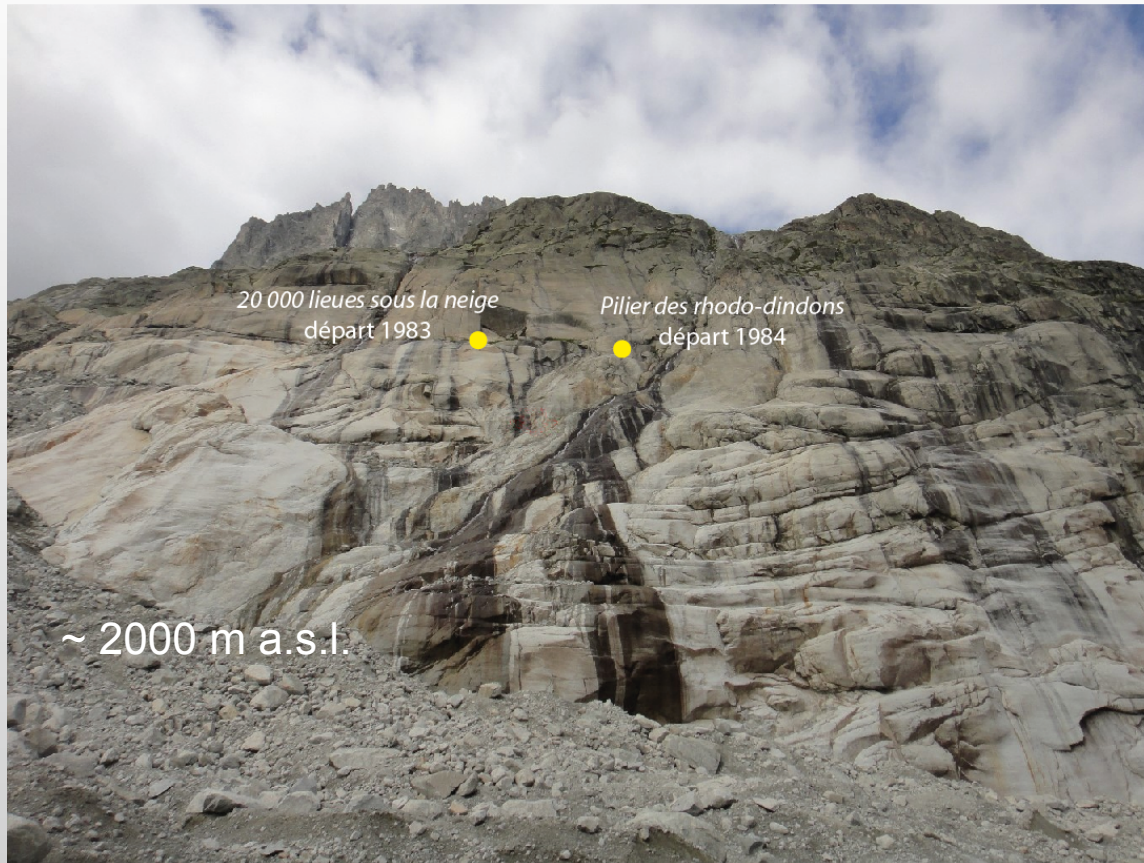
1990

Consequences on mountaineering

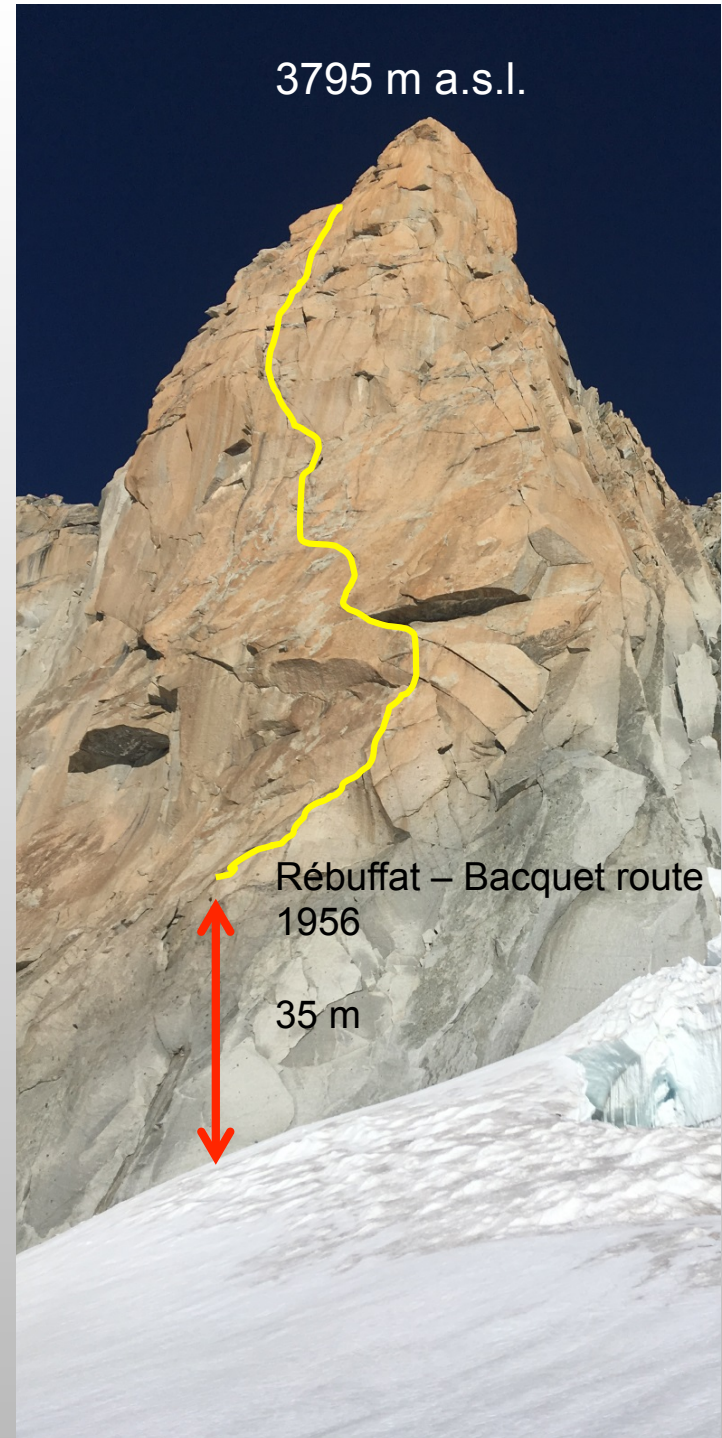


- Processus constitutifs de l'évolution des milieux de haute montagne face au réchauffement climatique**
- évolution d'une portion d'itinéraire
 - changement de tracé pour l'essentiel de l'itinéraire
 - ▼ retrait glaciaire
 - ▼ dégradation des moraines
 - ▼ processus associés à la dégradation du permafrost
 - ▼ autres processus gravitaires (décompression de versant, avalanches etc.)
- Evènements liés à la pratique et à la gestion des itinéraires**
- évolution de l'itinéraire par décision des gestionnaires
 - équipement de l'itinéraire
 - phase annuelle d'équipement
 - accident(s) ayant conduit(s) à l'évolution de l'itinéraire
 - × fermeture
 - ⋯ diminution/augmentation progressive de la fréquentation

→ Access to climbing routes



Sous l'Envers slabs



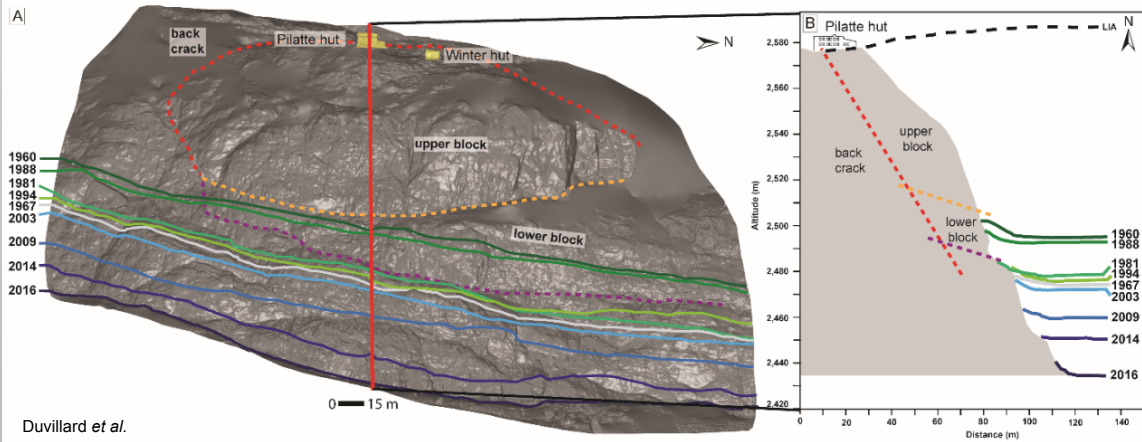
Aiguille du Midi south face

At the hut...



Coll. Sage

Cosmiques hut (Mont Blanc), 1998, 600 m³

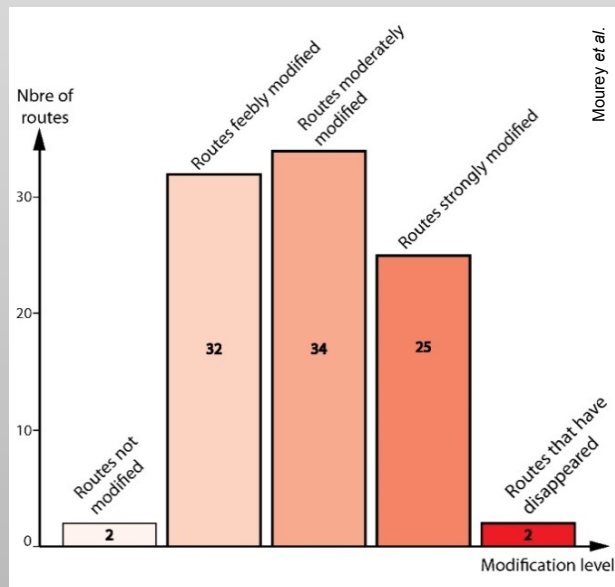


Pilatte hut (Écrins), 400,000 m³

Duvillard et al.

The route

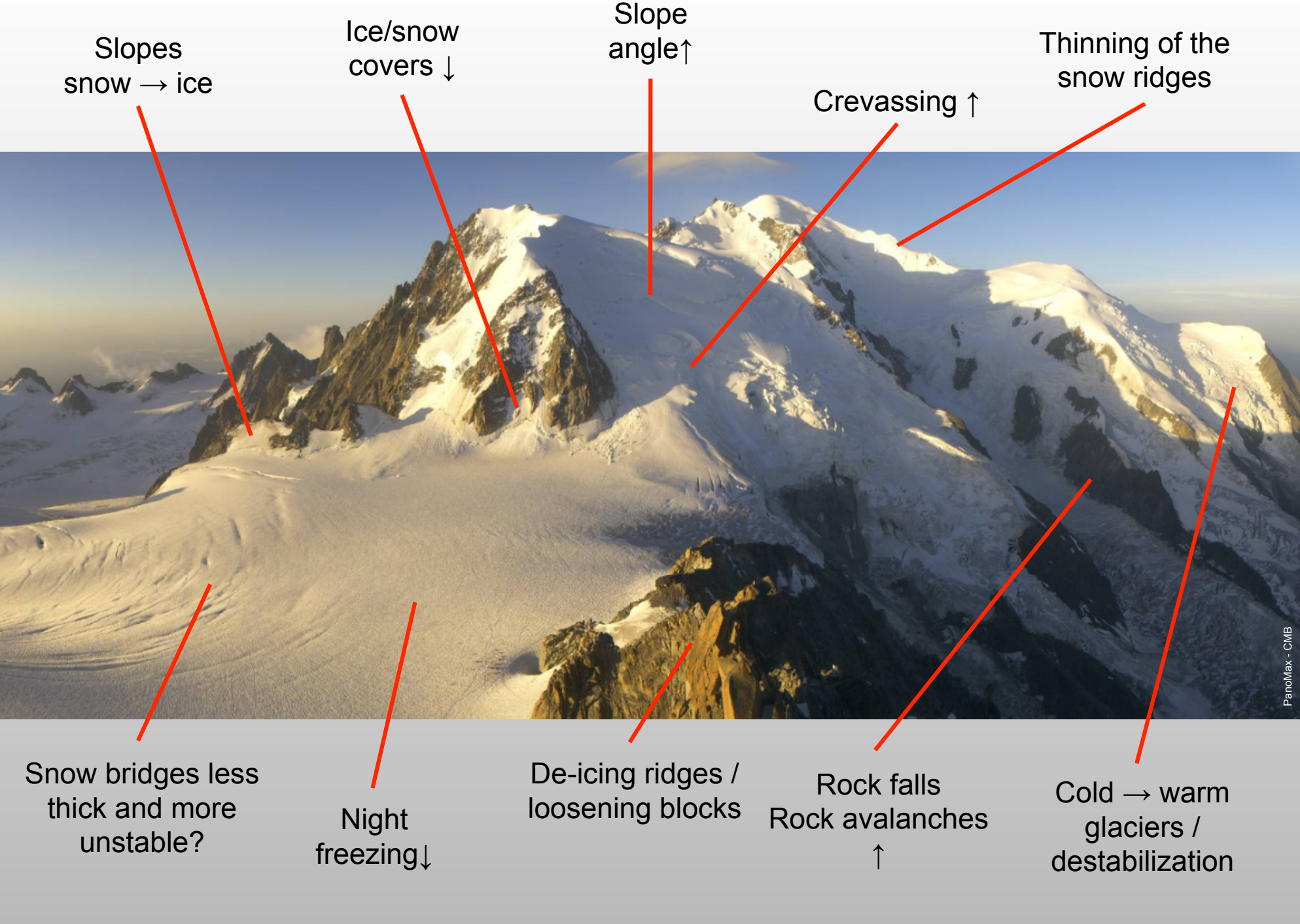




Principaux effets du changement climatique sur les milieux de haute montagne	Processus affectant et modifiant les itinéraires	Nombre d'itinéraires affectés (XX/95 - YY %)	Partie(s) des courses la (les) plus affectée(s)	Effets sur les conditions de fréquentation des itinéraires
Dégradation du permafrost	Eboulements / écroulements	28 - 27	↗	● ▲
	Chutes de pierres (cryoclastie, ruissellement)	55 - 52	↗	●
Retrait des couvertures glacio-nivales et évolution des arêtes en neige	Couvertures glacio-nivales «en glace» plus tôt dans la saison estivale (voire de manière quasi permanente)	58 - 55	↗	●
	Accroissement des angles de pente	53 - 50	↗	●
	Retrait des couvertures glacio-nivales; apparition du substratum rocheux en général très fracturé voire déstructuré	53 - 50	↗	▲
	Arête de neige devenant plus étroites	25 - 24	↗	●
Retrait glaciaire	Processus paraglaciers	Désenglacement et augmentation de la hauteur des moraines	↖ ↘	● ▲
		Accroissement des angles de pente des moraines	↖ ↘	●
		Déstabilisation rocheuses (chutes de pierres, éboulements, écroulements, glissements)	↖ ↘	●
		Développement de la torrencialité en zone proglaciaire	↖ ↘	●
	Désenglacement du substratum rocheux et apparition de dalles lisses	↗	●	
	Désenglacement du substratum rocheux et apparition de blocs instables	↗	● ●	
	Apparition de nouvelles zones de crevasses	↖ ↘	● ●	
	Crevasses et rimayes plus ouvertes	↖ ↗ ↘	● ●	
	Fragilisation des ponts de neige		●	
	Rupture du front de glaciers froids	↘	●	
	Chutes de séracs issues du front de glaciers froids	↗	●	
	Chutes de séracs issues de la surface des glaciers	↘	●	
	Rupture du front de glaciers tempérés	↘	●	
	Modification de l'hydrologie supra-glaciaire (bédrières plus nombreuses, larges et profondes)	↖ ↘	▲ ●	
	Accroissement de l'angle de pente de certains secteurs	↘	●	
	Surface des glaciers plus souvent «en glace»	↖ ↗ ↘	●	
Développement d'une couverture détritique à la surface des glaciers	↖ ↘	▲		
Chutes / glissement de matériaux rocheux à la surface des glaciers	↖ ↘	●		
Regel nocturne moins fréquent		●		

- ↖ Approche
- ↗ Voie
- ↘ Descente

- Augmentation de la dangerosité
- Accroissement de la difficulté technique
- ▲ Allongement et plus grande pénibilité du cheminement
- ▲ Modification du tracé et des techniques de progression requises



Slopes
snow → ice

Ice/snow
covers ↓

Slope
angle ↑

Crevassing ↑

Thinning of the
snow ridges

Snow bridges less
thick and more
unstable?

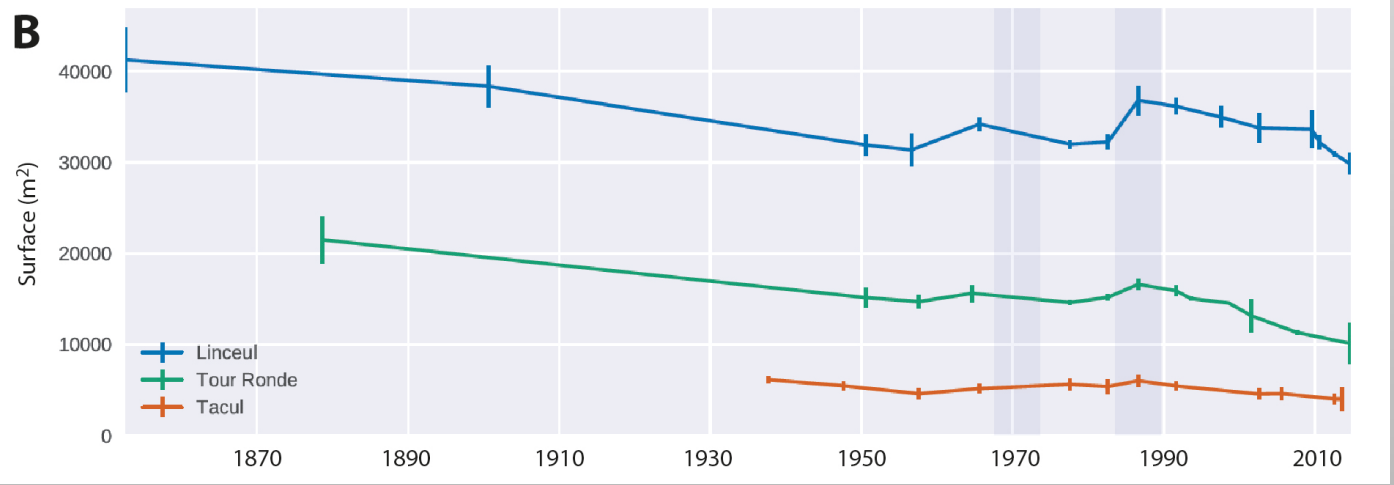
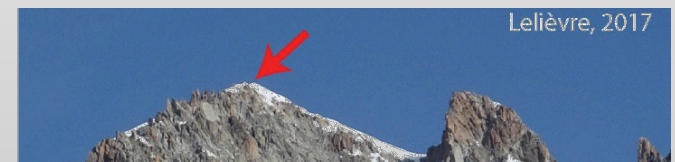
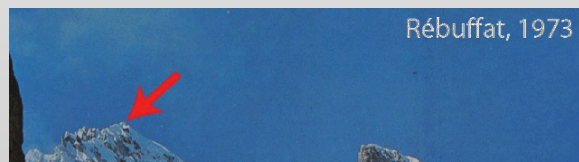
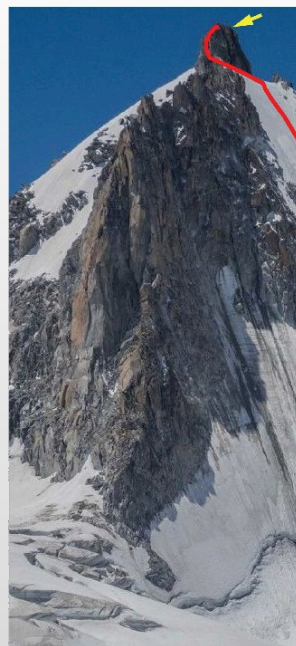
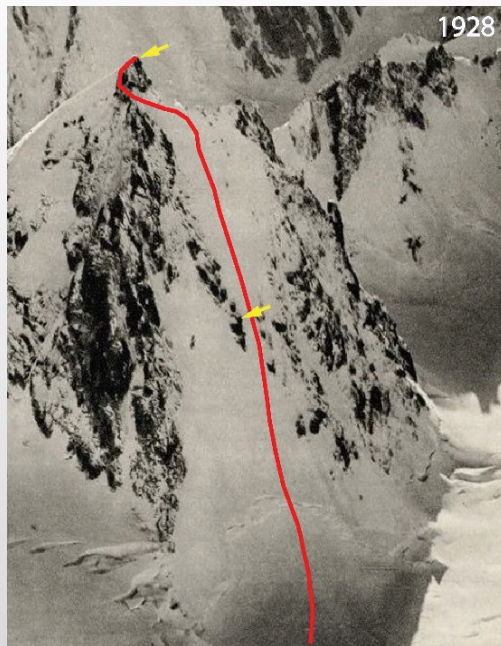
Night
freezing ↓

De-icing ridges /
loosening blocks

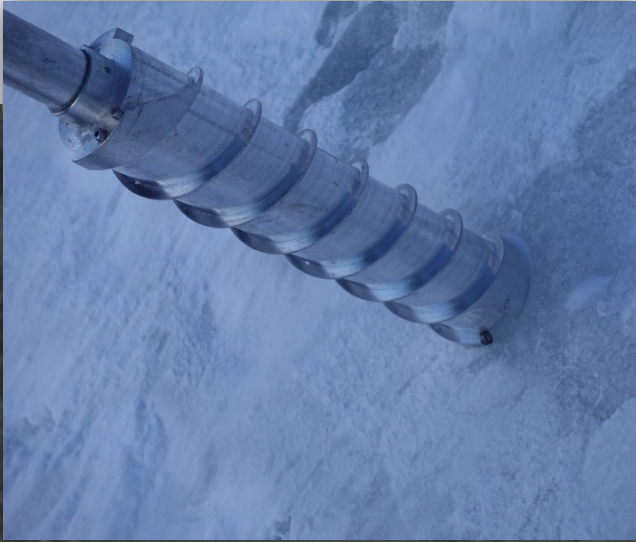
Rock falls
Rock avalanches
↑

Cold → warm
glaciers /
destabilization

Snow/ice covers evolution



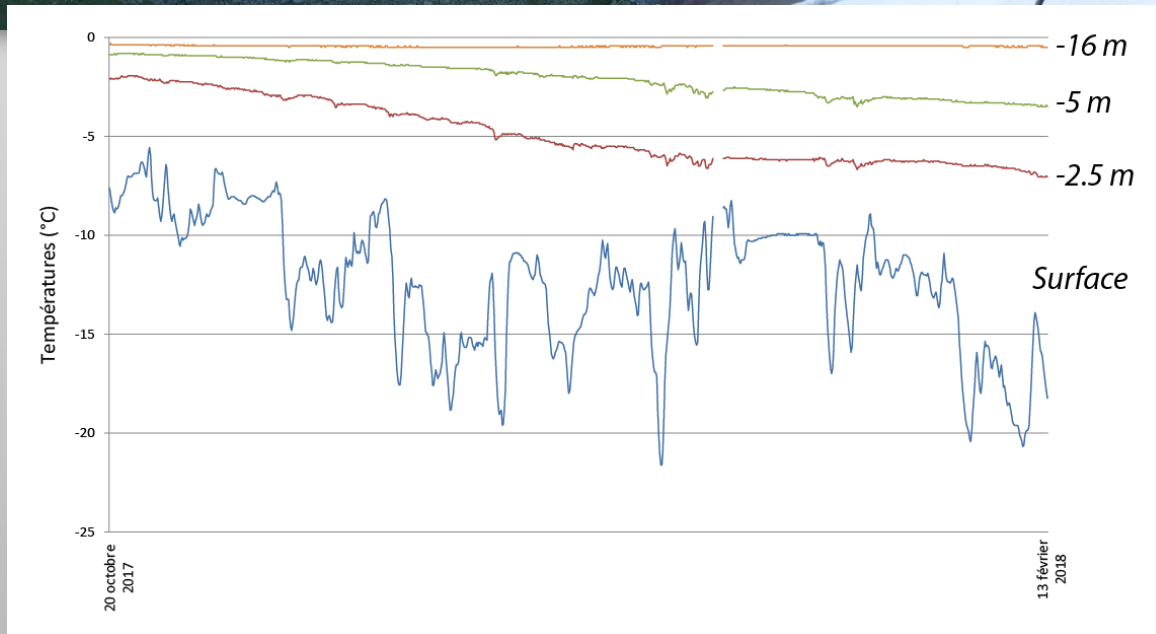
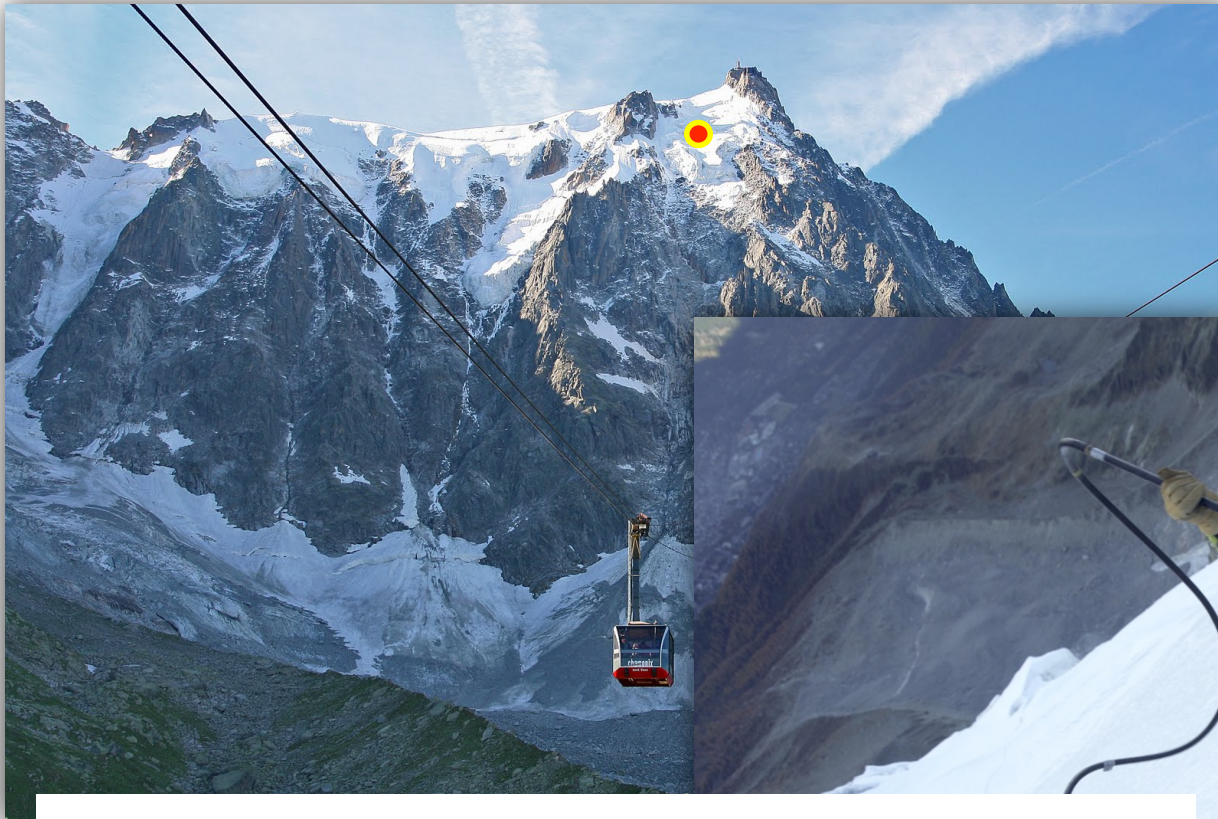
Triangle du Tacul



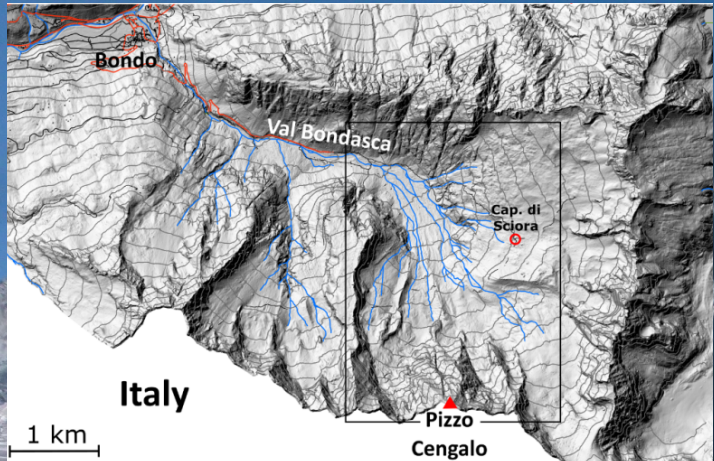
Summer 2017: - 70 cm

The ice that melts at present is **2650** years old...

Aiguille du Midi (3842 m a.s.l.)



August 23, 2017 – SLF Davos



Piz Cengalo 3369 m a.s.l.



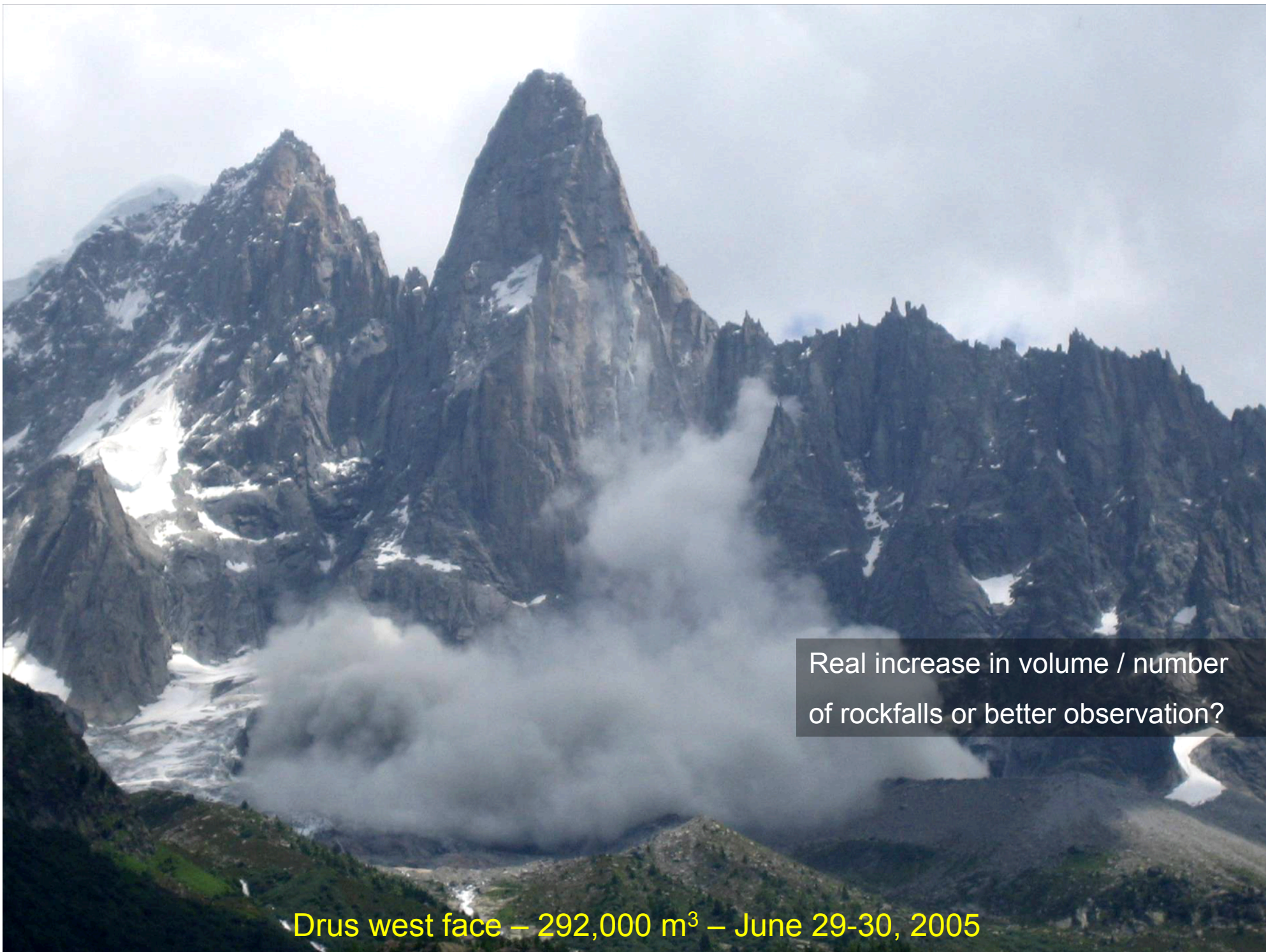
M. Phillips



M. Phillips



M. Phillips



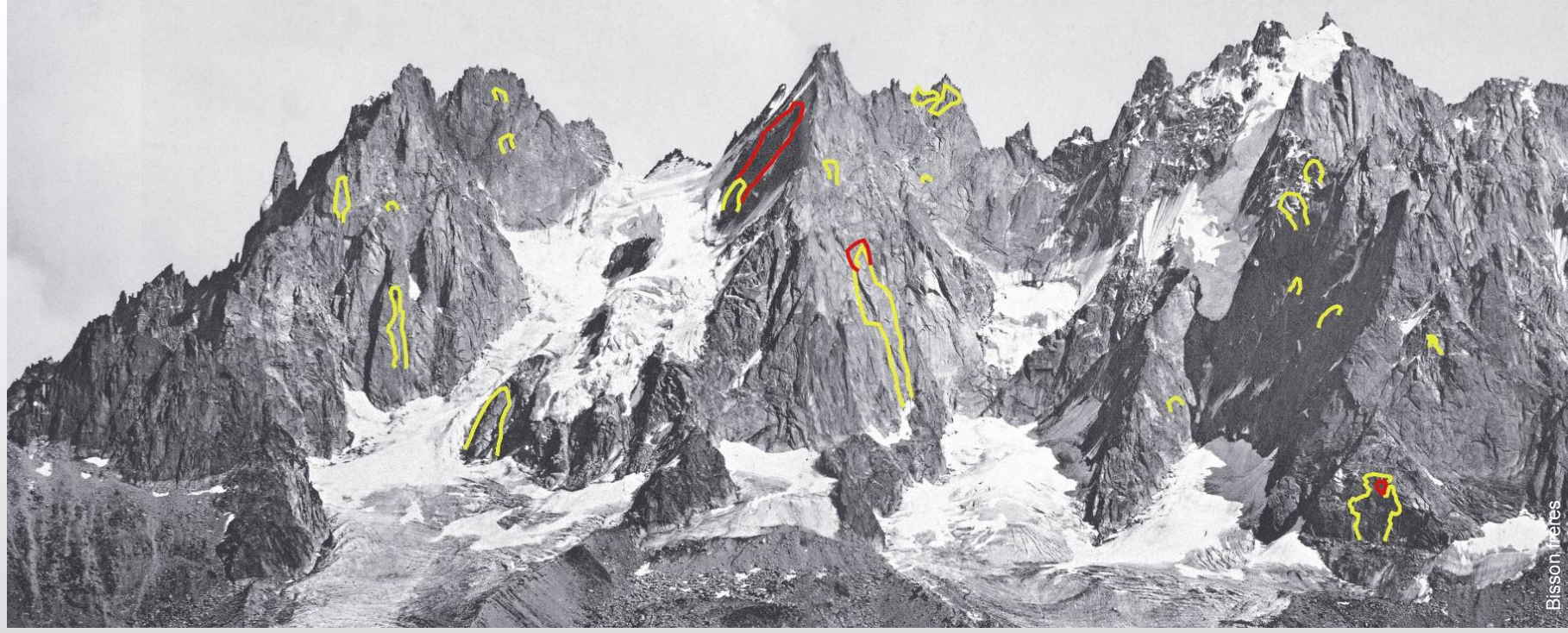
Real increase in volume / number
of rockfalls or better observation?

Drus west face – 292,000 m³ – June 29-30, 2005

Aiguilles de Chamounix

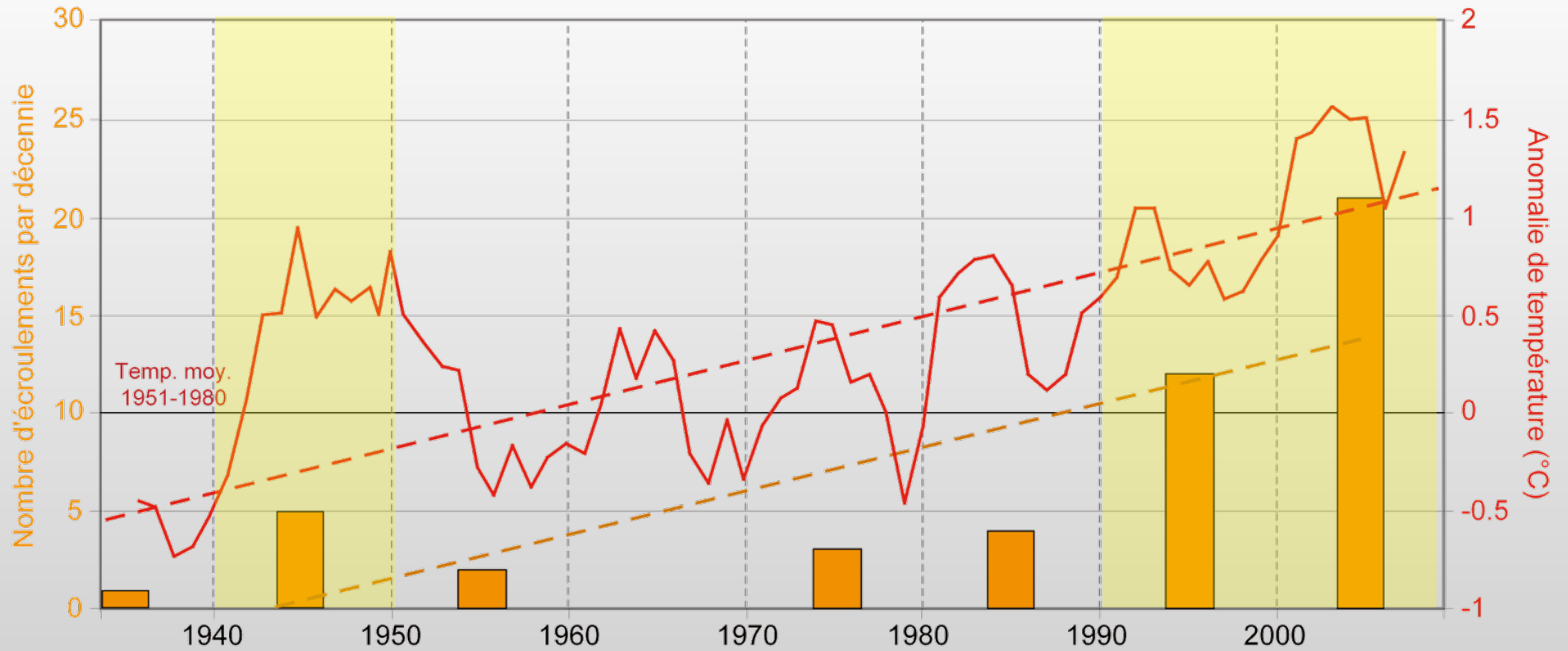


MLC, 2009



Bisson tretes

Drus + Aiguilles de Chamonix (1850-2009)

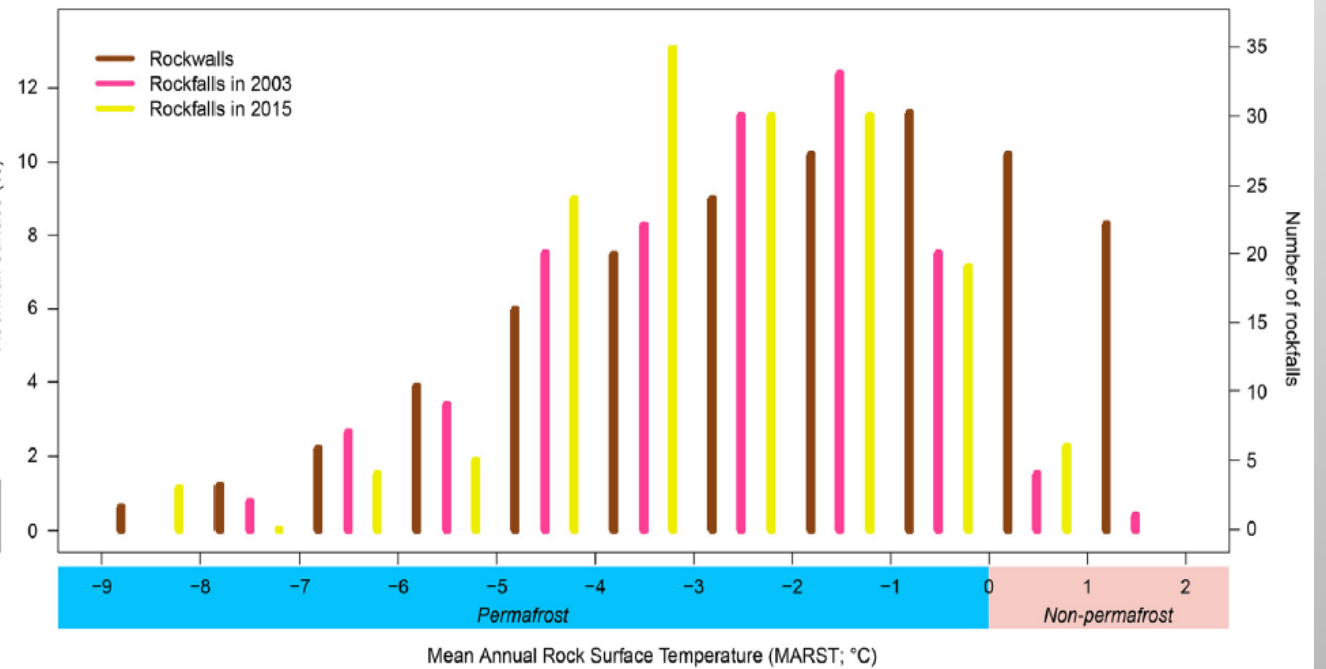
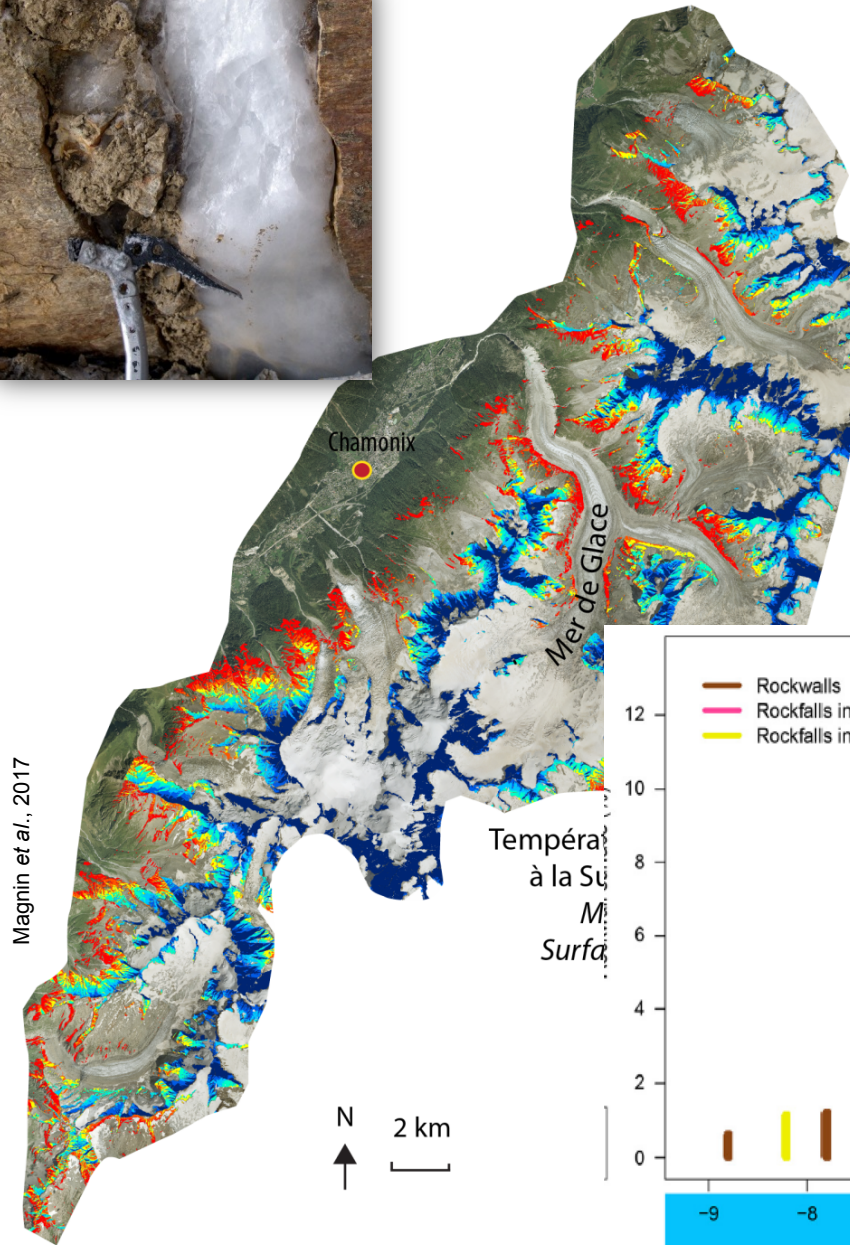


→ Very good correlation collapses / climate

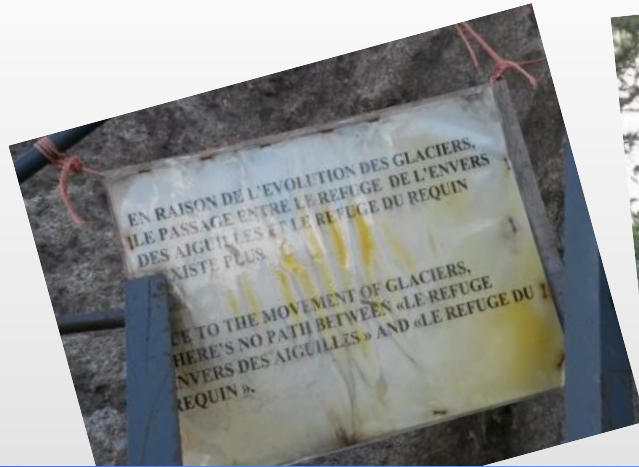
→ A "permafrost" issue

The permafrost

= terrains whose temperature remains permanently negative



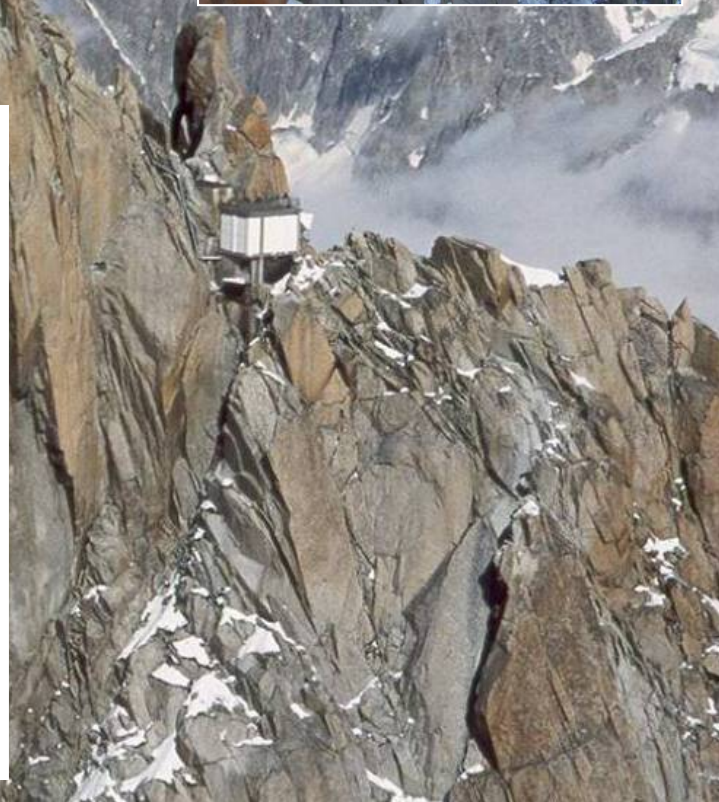
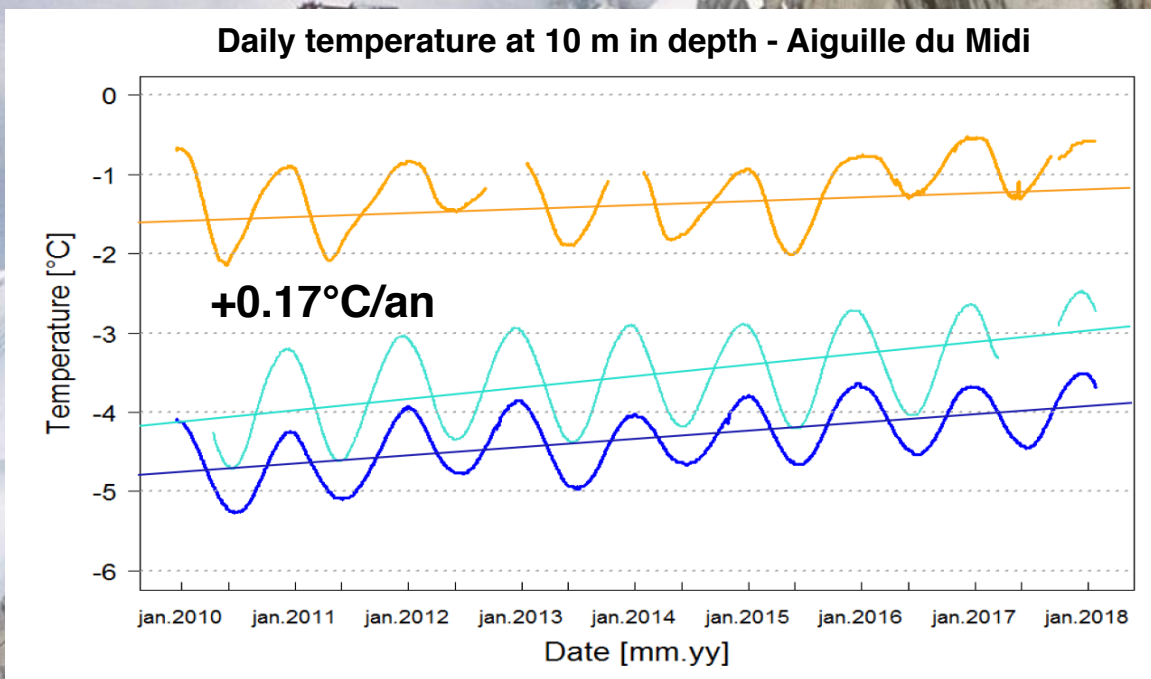
An increasing hazard

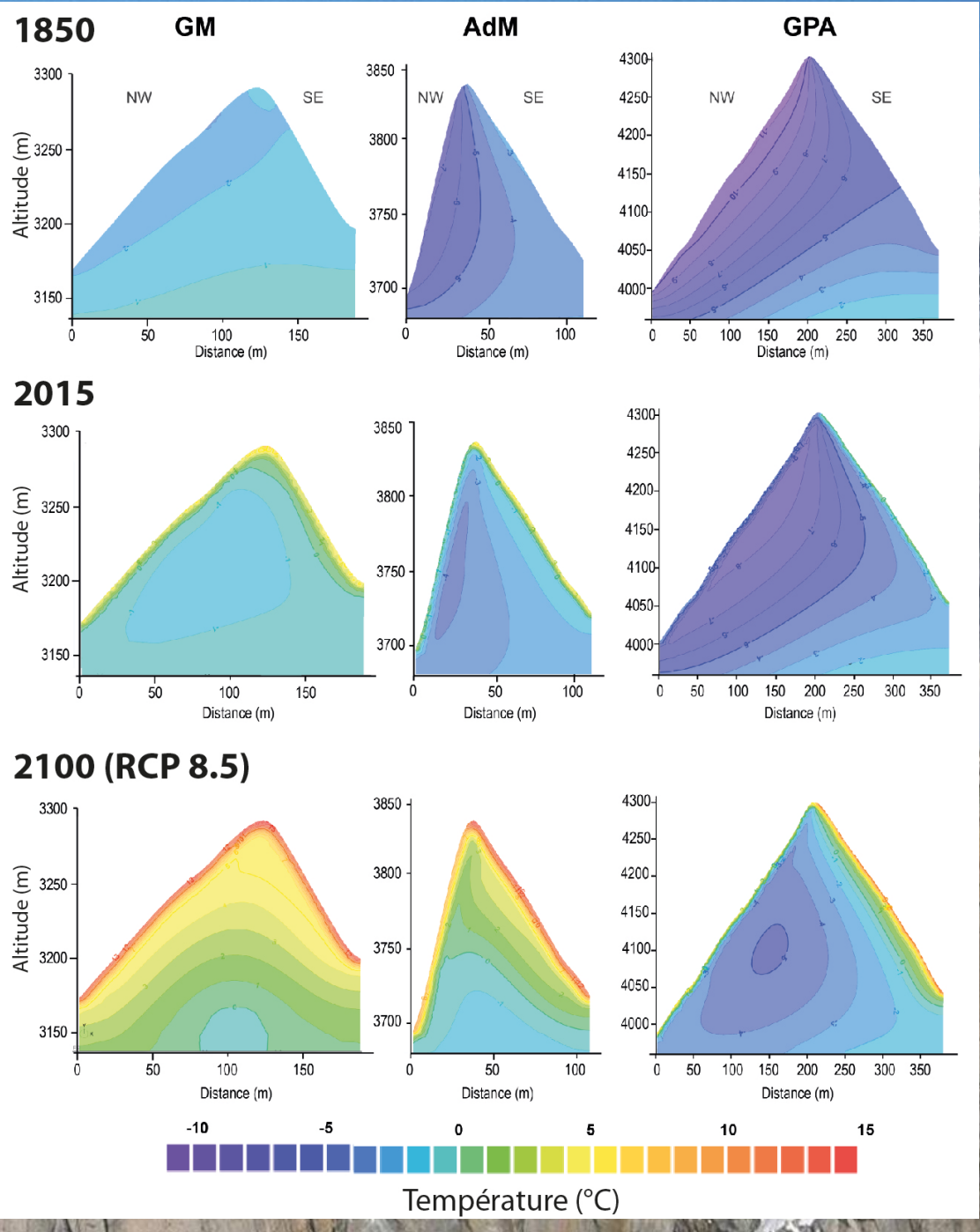


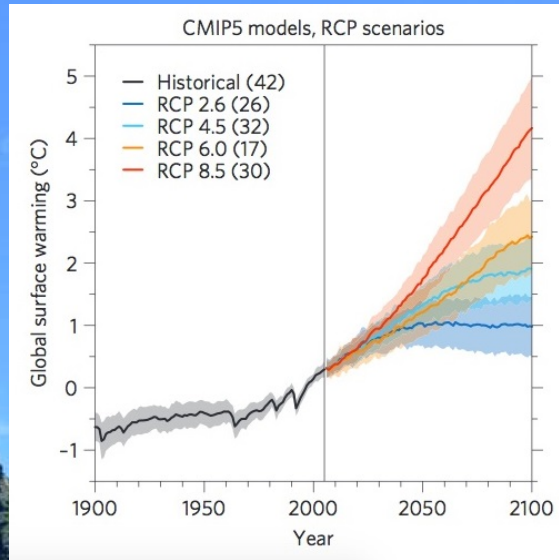
Between 1990 and 2017 :

- 102 dead
- 230 injured

The Aiguille du Midi (3842 m a.s.l.), a permafrost laboratory...







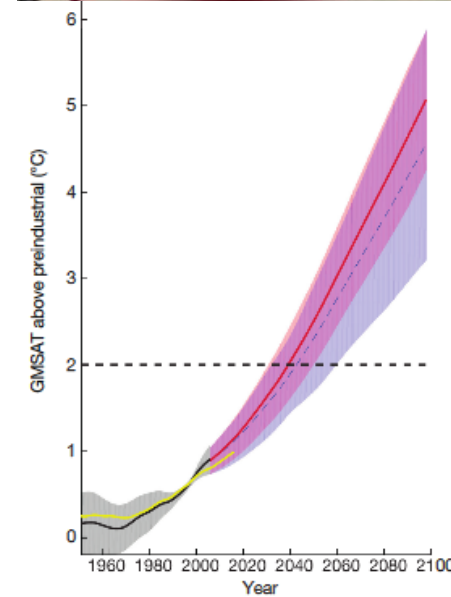
ARTICLE

doi:10.1038/nature24672

Greater future global warming inferred from Earth's recent energy budget

Patrick T. Brown¹ & Ken Caldeira¹

Climate models provide the principal means of projecting global warming over the remainder of the twenty-first century but modelled estimates of warming vary by a factor of approximately two even under the same radiative forcing scenarios. Across-model relationships between currently observable attributes of the climate system and the simulated magnitude of future warming have the potential to inform projections. Here we show that robust across-model relationships exist between the global spatial patterns of several fundamental attributes of Earth's top-of-atmosphere energy budget and the magnitude of projected global warming. When we constrain the model projections with observations, we obtain greater means and narrower ranges of future global warming across the major radiative forcing scenarios, in general. In particular, we find that the observationally informed warming projection for the end of the twenty-first century for the steepest radiative forcing scenario is about 15 per cent warmer (+0.5 degrees Celsius) with a reduction of about a third in the two-standard-deviation spread (-1.2 degrees Celsius) relative to the raw model projections reported by the Intergovernmental Panel on Climate Change. Our results suggest that achieving any given global temperature stabilization target will require steeper greenhouse gas emissions reductions than previously calculated.



Thanks!



Ludovic.Ravanel@univ-smb.fr